Տեխն, գիտութ, սեշիա

XV. № 3. 1962 Серия технических наук

ЭЛЕКТРОТЕХНИКА

IO. M. BIAXHABAPЯH

АКТИВНАЯ И РЕАКТИВНАЯ МОЩНОСТИ У ШИН ПРИЕМНОЙ СИСТЕМЫ ПРИ АСИНХРОННОМ ХОДЕ СТАНЦИЙ электрической системы

При использовании асинхронного хода работы станции в электрической системе, в целях повышения результирующей устойчивостя, важно знать активную и реактивную мощности у шин приемной системы при установившемся се асинхронном ходе (рис. 1).

Потребление реактивной мощности, вылавшей из синхронизма станцией, имеет весьма существенное значение, так как заметное ее потребление вызывает уменьшение напряжения на шинах станции, генераторы которой работают асинхронно, а также напряжение в приемной системе, что в свою очередь может привести к нарушению устоичивости других станций системы, а также к нарушению работы потребителей.

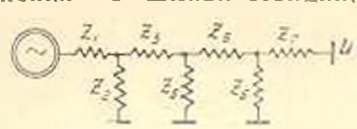


Рис. 1. Рассматриваемая схема передачи.

Для ответа на поставленную задачу были выведены формулы активной и реактивной мощностей у шин приемной системы при установившемся асинхронном ходе станции, связанной с системой через сеть произвольной сложности с промежуточными нагрузками-

При выводе формул принимались следующие допущения:

- 1. Принимается эквивалентная машина симметричной, причем для явнополюсной машины используется известный прием замены явнополюсной машины эквивалентной неявнополюсной.
- 2. Параметры машины, линии связи и нагрузки не зависят от скольжения.
- 3. Используется известный "принцип наложения мощностен", когда постоянная времени обмотки возбуждения намного больше постоянной времени успоконтельной обмотки $T_{ij}\gg T_{ij}$. При выводе формул применялись уравнения Горева-Парка.

Работа является частью общего комплекса исследования по результирующей устойчивости, прополимых в Московском энергетическом институте под руководством В. А. Веготкова.

^{3.} Han, TH, Nº 3

Скольжение считается положительным при скорости ротора ниже синхронной.

Реактивная мощность положительна, если она отдается в сеть-

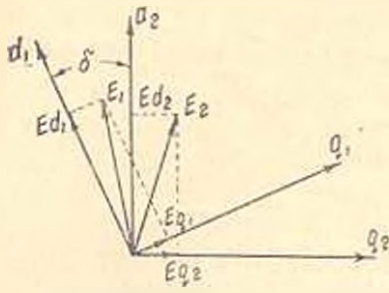


Рис. 2. Векторная диаграмма э. д. с. двух сипхронных мании.

На рис. 2 изображена векторная днаграмма э. д. с. в случае двух синхронных машин. Принимая за ось отсчета углов поперечную ось второй машины и заменяя вторую машину шинами неизмениого напряжения, можем написать выражение тока в конце передачи (рис. 1). При этом рассматриваем первую машину как явнополюсную с продольно-поперечными успоконтельными контурами на роторе.

$$|I_{d_{1}} - \frac{U}{Z} \cos \alpha_{22} + \frac{E_{q_{1}}}{Z} \sin (\alpha + \alpha_{12}) + \frac{1}{Z_{12}} \cos (\delta + \alpha_{12}) - \frac{1}{Z_{12}} \cos (\delta + \alpha_{12}) - \frac{1}{Z_{12}} \cos (\delta + \alpha_{12}) - \frac{U}{Z_{12}} \cos (\delta + \alpha_{12}) - \frac{U}{Z_{12}} \sin \alpha_{11} - \frac{U}{Z_{12}} \sin (\delta + \alpha_{12}) - \frac{U}{Z_{12}} \sin \alpha_{11} - \frac{U}{Z_{12}} \cos (\alpha + \alpha_{12}) - \frac{U}{Z_{12}$$

В силу того, что — — при представлении второй машины шинами неизменного напряжения, активная и реактивная мощности у шин определяется [1] из уравнений:

$$P_s = UI_o$$
 (2)

$$Q_{x} = UI_{x} \tag{3}$$

Рассмотрим эти мощности.

Подставляя значение тока из (1) в (2) и (3), после преобразования получим

$$P_{u} = -\frac{U^{2}}{2\pi^{2}} \sin a_{22} - \frac{UE_{q_{1}}}{2\pi^{2}} \cos (a + a_{12}) +$$

$$-\frac{1}{1+\frac{x_{1}-x_{2}}{Z_{11}}\cos\alpha_{11}} = \sin(\alpha+\alpha_{12}) + \frac{U^{2}}{1+\frac{Z_{12}^{2}}{Z_{12}^{2}}} - \frac{x_{d}-x_{q}}{1+\frac{X_{d}-x_{q}}{Z_{11}}\cos\alpha_{11}} = \cos(\beta-\alpha_{12})\sin(\beta+\alpha_{12})$$
(4)

$$Q_{a} = -\frac{U}{Z_{11}} \cos \alpha_{22} + \frac{U}{Z_{12}} \sin (\delta + \alpha_{12}) + \frac{1}{1 + \frac{x_{d} - x_{q}}{Z_{11}} \cos \alpha_{11}} \frac{U^{2}}{Z_{12}} \cos (\delta + \alpha_{11}) + \frac{U^{2}}{1 + \frac{x_{d} - x_{q}}{Z_{11}} \cos \alpha_{11}} \cos (\delta - \alpha_{11}) \cos (\delta - \alpha_{12})$$

$$(5)$$

При относительном перемещении ротора составляющие э. д. с. получают приросты.

$$E_{d} = E_{d-\infty} + \Delta E_{d}$$

$$E_{q} = \Delta E_{1q},$$

$$E_{dR-\infty} = E_{dc} + \Delta E_{d}.$$
(6)

где E ___ — э. д. с. мащины при отсутствии успоковтельной обмотки в продольной оси;

 E_{μ} — э. д. с. соответствующая установившемуся току возбуждения; ΔE_{μ} ΔE_{14} — приросты э. д. с. из-зя токов, наводимых в обмотке возбуждения и в успоконтельных обмотках вследствие относительного перемещения ротора.

В случае яннополюсной машины с успоконтельными обмотками эти э. д. с. определяются для составляющей фиктивной э. д. с. [2 и 3].

$$E_{0} = \frac{E_{0}}{1 + \frac{1}{2} \cos z_{11}}; \quad sE_{1Qd} = \frac{E_{0}}{1 + \frac{s_{d}}{2} \cos z_{11}}; \quad (7)$$

$$E_{0} = \frac{E_{0}}{1 + \frac{s_{d}}{2} \cos z_{11}}; \quad (7)$$

Подставляя (6) и (7) в уравнения мощностей (4) и (5), получим:

(8)
$$P_{0} = -\frac{L}{Z_{m}} \sin \alpha_{22} + \frac{E_{m}L}{Z_{m} \left(1 + \frac{x_{m} - x_{m}}{Z_{m}} \cos \alpha_{11}\right)} \sin \left(0 + \alpha_{12}\right) - \frac{1}{Z_{m}} \left(1 + \frac{x_{m} - x_{m}}{Z_{m}} \cos \alpha_{11}\right)$$

$$(8) \begin{vmatrix} -\frac{U_{1}E_{IQq}}{Z_{12}}\cos(a + a_{12}) + \frac{Q_{1}}{Z_{12}}\sin(b + a_{12}) + \frac{Q_{2}}{Z_{12}}\sin(b + a_{12}) + \frac{Q_{2}}{Z_{12}}\sin(b + a_{12}) + \frac{X_{2}-X_{2}}{Z_{11}}\cos(a + a_{12}) \\ + \frac{Z_{22}}{Z_{22}}\cos(a + a_{12})\cos(b + a_{12}) - \frac{E_{2}}{Z_{21}}\cos(b + a_{12}) + \frac{U_{2}}{Z_{22}}\cos(b + a_{12})\cos(b + a_{12})\cos$$

В этих ураниениях члены с приростами э. д. с. после раскрытия этих приростов представляют собой асинхронную мощность, обусловленную относительным перемещением ротора генератора. Приросты э. д. с. являются операторными выряжениями и для их раскрытия во временной форме необходимо применение интеграла Дюамеля [2 и 3] При постоянстве относительной скорости вращения генератора эти уравнения асинхронной мощности могут быть проянтегрированы. После интегрирования и некоторых преобразований, получим:

$$\begin{vmatrix}
\frac{U^{2}}{2} & \frac{1}{1 + \frac{x_{d}}{2} \cos z_{11}} & \sin (s - z_{12}) + \frac{U^{2}}{2} \\
\frac{U^{2}}{2} & \frac{x_{d}}{1 - \frac{x_{d}}{2} \cos z_{11}} & \sin 2z_{12} - \frac{2 \sin z_{22}}{2} + \frac{1}{2 \cos z_{11}} & \sin 2z_{12} - \frac{1}{2 \cos z_{11}} & \cos 2z_{11} & \cos 2z_{12} - \frac{1}{2 \cos 2z_{12}} & \cos 2z_{12} - \frac{1}{2 \cos 2z_{12$$

$$= V \overline{1 + (sT_d)^2} \sin \left(2b - \arctan \left(\frac{1}{sT_d} \right) \right) - \frac{x_a' - x_d'}{Z_{11}} \cos 2a_{11} \right) \left(1 - \frac{x_q - x_d'}{Z_{11}} \cos 2a_{11} \right) \times \frac{sT_d'}{1 + (sT_d')^2} \left[\cos 2a_{10} + sT_a \sin 2a_{12} \right] \times \frac{sT_d'}{1 + (sT_d')^2} \sin \left(2b - \arctan \left(\frac{1}{sT_q'} \right) \right) \right] - \frac{x_q - x_q'}{Z_{12}^2} \left(1 - \frac{x_q - x_q'}{Z_{11}} \cos 2a_{11} \right) \times \frac{sT_q'}{1 + (sT_q')^2} \sin \left(2b - \arctan \left(\frac{1}{sT_q'} \right) \right) \right] + sT_q'' \sin 2a_{12} + V \overline{1 + (sT_q')^2} \sin \left(2b - \arctan \left(\frac{1}{sT_q'} \right) \right) \right] + sT_q'' \sin 2a_{12} + V \overline{1 + (sT_q')^2} \cos 2a_{11} \right) \times \frac{sT_q'}{Z_{11}} \cos 2a_{11} \times \frac{sT_q'}{Z_{11}} \cos 2a_{11} \right) \times \frac{x_d - x_q}{Z_{12}^2} \left(1 + \frac{x_d - x_q}{Z_{11}} \cos 2a_{11} \right) \times \frac{x_d - x_q}{Z_{12}^2} \left(1 - \frac{x_q - x_d'}{Z_{11}} \cos 2a_{11} \right) \left(1 + \frac{x_d - x_d}{Z_{11}} \cos 2a_{11} \right) \times \frac{sT_d'}{1 + (sT_d')^2} \left[sT_d \cos 2a_{12} - \sin 2a_{12} \pm V \overline{1 + (sT_d')^2} \cos \left(2b - \arctan \left(\frac{1}{sT_d'} \right) \right) \right] + \frac{sT_d'}{1 + (sT_d')^2} \left[sT_d \cos 2a_{12} - \sin 2a_{12} \pm V \overline{1 + (sT_d')^2} \cos \left(2b - \arctan \left(\frac{1}{sT_d'} \right) \right) \right] + \frac{sT_d'}{1 + (sT_d')^2} \sin \left(2b - \arctan \left(\frac{1}{sT_d'} \right) \right) + \frac{sT_d'}{1 + (sT_d')^2} \sin \left(2b - \arctan \left(\frac{1}{sT_d'} \right) \right) + \frac{sT_d'}{1 + (sT_d')^2} \cos \left(2b - \arctan \left(\frac{1}{sT_d'} \right) \right) + \frac{sT_d'}{1 + (sT_d')^2} \cos \left(2b - \arctan \left(\frac{1}{sT_d'} \right) \right) + \frac{sT_d'}{1 + (sT_d')^2} \cos \left(2b - \arctan \left(\frac{1}{sT_d'} \right) \right) + \frac{sT_d'}{1 + (sT_d')^2} \cos \left(2b - \arctan \left(\frac{1}{sT_d'} \right) \right) + \frac{sT_d'}{1 + (sT_d')^2} \cos \left(2b - \arctan \left(\frac{1}{sT_d'} \right) \right) + \frac{sT_d'}{1 + (sT_d')^2} \cos \left(2b - \arctan \left(\frac{1}{sT_d'} \right) \right) + \frac{sT_d'}{1 + (sT_d')^2} \cos \left(2b - \arctan \left(\frac{1}{sT_d'} \right) \right) + \frac{sT_d'}{1 + (sT_d')^2} \cos \left(2b - \arctan \left(\frac{1}{sT_d'} \right) \right) + \frac{sT_d'}{1 + (sT_d')^2} \cos \left(2b - \arctan \left(\frac{1}{sT_d'} \right) \right) + \frac{sT_d'}{1 + (sT_d')^2} \cos \left(2b - \arctan \left(\frac{1}{sT_d'} \right) \right) + \frac{sT_d'}{1 + (sT_d')^2} \cos \left(2b - \arctan \left(\frac{1}{sT_d'} \right) \right) + \frac{sT_d'}{1 + (sT_d')^2} \cos \left(2b - \arctan \left(\frac{1}{sT_d'} \right) \right) + \frac{sT_d'}{1 + (sT_d')^2} \cos \left(2b - \arctan \left(\frac{1}{sT_d'} \right) \right) + \frac{sT_d'}{1 + (sT_d')^2} \cos \left(2b - \arctan \left(\frac{1}{sT_d'} \right) \right) + \frac{sT_d'}{1 + (sT_d')^2} \cos \left(2b - \arctan \left(\frac{1}{sT_d'} \right) \right) + \frac{sT_d'}{1 + (sT_d')^2} \cos \left(2b - \arctan \left(\frac{1}{sT_d'} \right) \right) + \frac{sT_d$$

$$\left| \begin{array}{c} +\frac{x_{q}-x_{q}^{2}}{Z_{12}^{2}\left(1-\frac{x_{q}-x_{q}^{2}}{Z_{11}}\cos z_{11}\right)} & \frac{1}{1-(sT_{q}^{2})^{2}} \left| sT_{1}^{2}\cos 2z_{12}-\frac{1}{2} - s\ln 2z_{12} \right| \\ -\sin 2z_{12} & \frac{1}{1}+(sT_{1}^{2})^{2}\cos \left(2\delta-\arcsin \frac{1}{sT_{q}^{2}}\right) \right| . \end{aligned}$$

где

$$T_{d0} = T_{d0} = \frac{x_{q} - x_{d}}{Z_{11}} \cos \alpha_{11}$$

$$T_{d0} = T_{d0} = T_{d0} = \frac{1 - \frac{x_{q} - x_{d}}{Z_{11}} \cos \alpha_{11}}{1 - \frac{x_{q} - x_{d}}{Z_{11}} \cos \alpha_{11}}$$

$$T_{d0} = T_{d0} = T_{d0} \left(1 - \frac{x_{q} - x_{d}}{Z_{11}} \cos \alpha_{11}\right).$$

В уравнениях при s < 0 следует брать верхние из указанных знаков при s > 0—пижние.

В случае турбогенератора он должен быть учтен в расчетной схеме продольным синхронным реактивным сопротивлением. Уравнения (10) и (11) выведены в предположении, что отсчет времени производится с момента изменения установившегося режима генератора. Причем затухающиеся члены, появляющиеся в уравнениях из-за предположения миновенного появления конечного скольжения, практически не оказывающие никакого влияния на среднее значение асинхронной мощности в установившемся асинхронном режиме, в формулах опущены.

Здесь все углы вида arctg $\frac{1}{\sqrt{T}}$ находятся в 1 и 11 квадратах.

$$\delta = \delta_0 - st$$
.

При связи генераторов с мошной системой через дальную линию электропередачи величины этих мощностей снижаются. В формуле реактивной мощности знак минус перед скобкой свидетельствует о потреблении реактивной мощности из системы.

Из этих формул путем постяновки $\alpha_{11} = \alpha_{22} = 0$, $Z_{14} = Z_{14} = x_4$ нетрудно получить общензвестные формулы активной и реактивной мощности синхронной машины, работяющей на шины неизменного напряжения [4 и 5].

Приведенные формулы дают количественную оценку активной и реактивной мощностей у шин приемной системы, когда параметры передачи, включая все его элементы, мало изменяются при изменении скольжения, и когда активное сопротивление как линии, так и промежуточных нагрузок мало.

Для примера подсчитаны асинхронные характеристики активной и реактивной мощностей для схемы передвчи, приведенной на рис. 3.

Результаты расчета, выполненные по формулам (10 и 11), приведены на рис. 4.

Следует заметить, что при асинхронном ходе эквивалентного генератора станции (рис. 3) из системы используются как реактивная, так

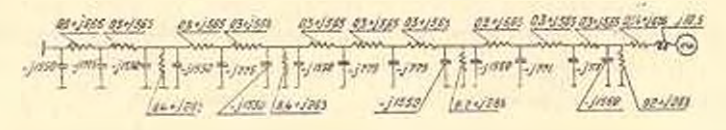


Рис. 3. Расчетная схема передачи. Параметры эквивалентного генератора:

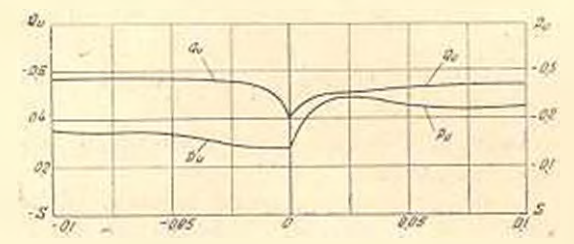


Рис. 4. Средняе аспихронные мощности у ини приемной системы рассматриваемой схомы передачи.

и активная мощности. При этом потери в активном сопротивлении передачи оказываются больше выдаваемой асинхронной мощности.

Московский энергетический институт

Поступило 26.111 1962

BOK IT, GUZTIUSUPSILE

ԱԿՏԻՎ ԵՎ ՌԵԱԿՏԻՎ ՀԶՈՐՈՒԹՅՈՒՆՆԵՐԸ՝ ԸՆԴՈՒՆՈՂ ՍԻՍՏԵՄԻ ՇԻՆԱՅԻ ՎՐԱ, ԵԼԵԿՏՐԱԿԱՆ ՍԻՍՏԵՄԻ ԿԱՅԱՆԻ ԱՍԻՆԽՐՈՆ ՔԱՅԼԻ ԴԵՊՐՈՒՄ

Udhahard

Կալունության մեծացման նպատակով, էլհկտրովան սիստեմի կալանի աշխատանքի ասինիրոն քալլի օգտագործման ժամանակ, կարևոր է իմանալ ակտիվ և ռևակտիվ հղորությունները՝ ընդունող սիստեմի շինալի վրա, կալանի կայունացած ասինիրոն քալլի դեպքում (նկ. 1)։ եական նշանակութկուն ունի սինկորնիղմից դուրս ընկած կայանի ռնակտիվ հղորութկան սպառումը, ջանի որ նրա զգալի սպառումը առաջացնում է
լարվածութկան փոքրացում, ինչպես կայանի շինայի վրա, այնպես էլ ընդունող սիսանմում, որ իր հերթին կարող է խախտել ինչպես էլնկորական
սիստեմի մյուս կալանների կայունությունը, այնպես էլ սպառիչների աշխատանքը։ Այդ նպատակով դուրս է բերված ակտիվ և ռնակորիվ հղորութկունների թանաձևերը՝ ընդունող սիստեմի շինալի վրա, սիստեմի հետ կամայական բարդությամբ և միջանկյալ բեռնավորումներ ունեցող ցանցով, միացած
կայանի կայունացած ասինկորոն ջայլի դեպրում (10—13).

Դուրո թերված րանաձևերի մասնավոր դեպքը տալիս է ակտիվ և ռևակտիվ հղորութվունների հանրահայտ բանաձևևրը՝ ընդունող սիստևմի շինալի վրա, շինալին պարդադույն ձևով միացած կալանի ասինիսրոն քայլի դեպքում

Մատցված բանաձևնրը տալիս ևն ակտիվ և ռեակտիվ հզորության թվային արժեջները ընդունող սիստեմի վրա, հրբ հաղորդման պարամետրե րր, ընդդրկած բոլոր նրա էլեժենտները, ջիչ են փոփոիսիսեւմ սահմանի փոփոխման դեպչում և երբ դժի, ինչպես և միջանկյալ բեռնավորումների ակտիվ գիմադրությունները փոջը են։

ЛИГЕРАТУРА

- 1. Лебедев С. А. и Жданов П. С. Устойчивость паравлельной работы электрических систем, Госэпергоиздат, 1934.
- Жданов И. С. Демпферный момент сипхронной машины, работающей через внешнюю сеть параллельно с системой большой мощности. Бюдлетень ВЭИ. № 9, 1953.
- 3. Веников В. А. Жуков Л. А. Переходные процессы и электрических системах. М. Л., Госэнергонадат. 1953.
- Веников В. А. Электромеханические переходные процессы и электрических системах, М.—Л., Госэпергоиздат, 1958.
- Мамиконянц Л. Г. Определение реактивной мощности синхронной машины при асплуронном режиме. Электричество, № 3, 1958.
- Мамиконянц Л. Г. Токи и моменты вращения, возникающие и синхронной машине при включении ее способом самосинхронизации, М.—Л., Тр. ЦНИЭЛ, вып. IV. Госэнергоиздат, 1956.
- Горез А. А. Переходные процессы синхронной машины, М.—Л., Госэнергоиздат, 1950.